





ЗДРАВСТВУЙТЕ!

## 24.5. Гармонический осциллятор (Маятники: пружинный, физический и математический)

Колебания гармонического осциллятора являются важным примером периодического движения и служат точной или приближенной моделью во многих задачах классической и квантовой физики. Примерами гармонического осциллятора являются пружинный, физический и математический маятники.

В физике под **маятником** понимают **твердое тело, совершающее под действием силы тяжести колебания вокруг неподвижной точки или оси.**

**Математическим маятником** - называется идеализированная система, состоящая из невесомой, нерастяжимой нити, на которую подвешена масса, сосредоточенная в одной точке (небольшой тяжелый шарик на длинной тонкой нити).

Рассмотрим условия, при которых колебания маятника являются гармоническими.

Отклонения маятника от положения равновесия будем характеризовать углом  $\alpha$ , образованным нитью с вертикалью.

При отклонении маятника от вертикали, возникает вращательный момент, модуль которого  $|M| = mg/\sin\theta$ . Вектор  $M$  направлен от нас. Он имеет такое направление, что стремится вернуть маятник в положение равновесия и в этом отношении он способен.

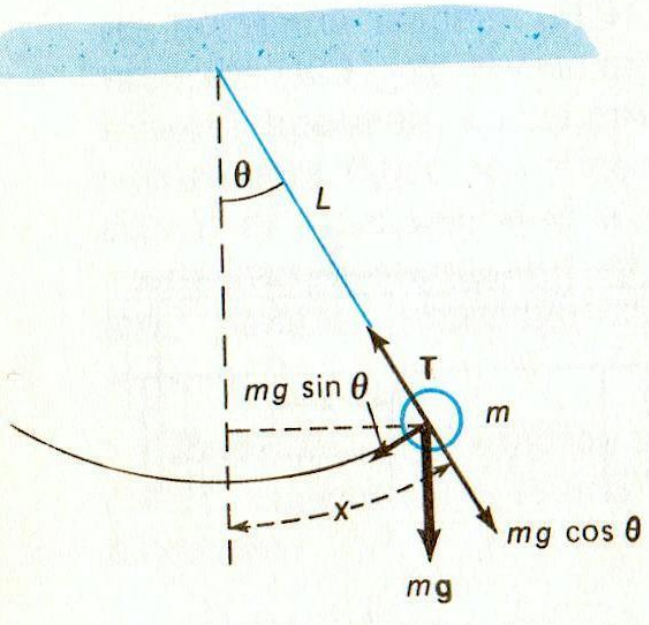


Рис. 7.

квазиупругой силе. Поэтому  $M$  и угловому смещению  $\theta$  нужно приписывать противоположные знаки.

$$M = -mg I \sin \theta \quad (24.5.1)$$

Напишем для маятника уравнение динамики вращательного движения  $M = J\epsilon$ , где момент инерции маятника  $J = mL^2$ , а  $\epsilon = d^2\theta/dt^2$  тогда преобразуем получаем

$$mL^2 \frac{d^2\theta}{dt^2} = -mgL \sin \theta$$

$$\frac{d^2\theta}{dt^2} + g/(L \sin \theta) = 0 \quad (24.5.2)$$

Рассмотрим колебания с малой амплитудой т.е.  $\sin \theta \approx \theta$  и

введем

обозначение  $g/l = \omega_0^2$  Тогда (24.5.2) преобразуем и получаем

$$\frac{d^2\theta}{dt^2} + \omega_0^2 \theta = 0 \quad (24.5.3)$$

А это есть уравнение динамики гармонических незатухающих колебаний. Решение уравнения ( 24.5.3 ) имеет вид

$$\alpha = \alpha_m \cos (\omega_0 t + \phi_0)$$

(24.5.4)

Следовательно, при малых колебаниях угловое отклонение математического маятника изменяется со временем по гармоническому закону, откуда

$$2\pi / \sqrt{\frac{g}{l}} = 2\pi \sqrt{\frac{l}{g}}$$

$$T = 2\pi/\omega_0 =$$

(24.5.5)

Т.е. период  $T$  - зависит только от длины маятника и ускорения свободного падения.

Если колеблющееся тело нельзя представить как материальную точку, то такой **маятник называется физическим**. При отклонении положения равновесия на угол  $\varphi$  также возникает врачающий момент, стремящийся вернуть маятник в положение равновесия:

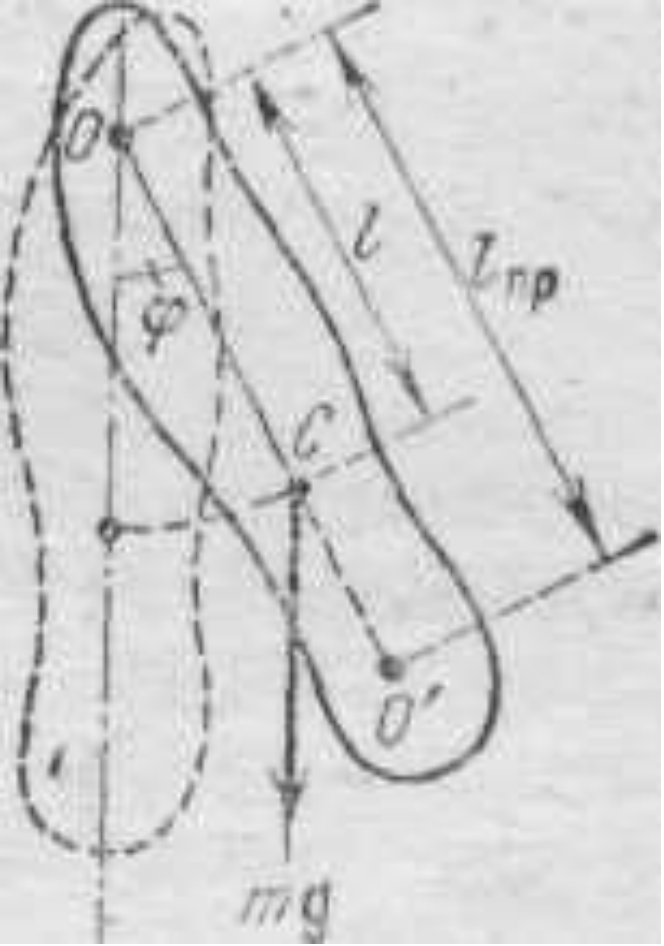


Рис. 8.

Обозначим через  $J$  -момент инерции маятника относительно точки подвеса 0, тогда

$$J = d^2\phi /dt^2 = -mg/l \sin\phi \quad (24.5.6)$$

)

В случае малых колебаний ( $\sin\alpha = \alpha$ ) уравнение (24.5.6) переходит в известное нам уравнение.

$$d^2\phi /dt^2 + \omega_0^2 \phi = 0 \quad (24.5.7)$$

Его решение нам уже известно

$\phi = \phi_m \cos(\omega_0 t + \phi_0)$ , где  $\omega_0^2 = mgl/J$ ,  
при любых отклонениях также совершает гармонические колебания, частота которых, кроме того, зависит от массы и момента инерции маятника. Из (24.5.7) аналогично (24.5.5) получим маятник

$$T = 2\pi \sqrt{\frac{J}{mgl}} \quad (24.5.8)$$

Величину момента инерции  $J$  бывает трудно вычислить.

Сопоставляя (24.5.5) и (24.5.8) получим, что математический маятник с длиной  $\mathbf{l}_{np} = J/ml$  (24.5.9)

будет иметь такой же период колебаний, как и физический.

$\mathbf{l}_{np}$  - приведенная длина физического маятника - это длина такого математического маятника, период колебания которого совпадает с периодом колебаний данного физического маятника. Точка на прямой, соединяющая точку подвеса с центром инерции и, лежащая на расстоянии  $\mathbf{l}_{np}$  от точки подвеса, называется центром качения физического маятника (точка  $O'$ ). Точки  $O$  и  $O'$  всегда будут лежать по обе стороны от точки  $C$ . Точки подвеса и центр качания обладают свойством взаимности, т.е. период колебания  $T$  не изменяется если маятник подвесить за точку  $O'$ . На этом свойстве основано определение ускорения силы тяжести  $g$  с помощью так называемого обратного маятника. Это такой маятник, у которого имеются две призмы (точки подвеса) и два груза, которые могут перемещаться вдоль оси маятника. Перемещением грузов

добиваются того, что расстояние между призмами будет соответствовать  $I_{\text{пр}}$ . Тогда  $T = 2\pi \sqrt{\frac{l_{\text{пр}}}{g}}$ , а  $I_{\text{пр}}$  - точно известно (измерено).

**24. Пружинный маятник** - это груз массой  $m$ , подвешенный на абсолютно-упругой пружине и совершающий гармонические колебания под действием упругой силы  $F = -kx$ , где  $k$  - жесткость пружины. Уравнение движения маятника

$$m\ddot{x} = -kx, \text{ или } \ddot{x} + (k/m)x = 0. \quad (24.5.10)$$

Из выражений (24.5.3а) или (24.5.3б) и (24.5.4) следует, что пружинный маятник совершает гармонические колебания по закону

$x = A \cos(\omega t + \phi)$  с циклической частотой и периодом:

$$\omega = \sqrt{\frac{k}{m}}; \quad T = 2\pi \sqrt{\frac{m}{k}}.$$

Эти формулы справедливы для упругих колебаний в пределах, в которых выполняется закон Гука, т.е. когда масса пружины мала по сравнению с массой тела. Потенциальная энергия пружинного маятника равна  $U = kx^2/2$ .

Рассматривая физический и математический маятники, мы все время подчеркивали, что они совершают гармонические колебания при малых отклонениях, т.е. когда длина дуги  $x = l\theta$  очень мало отличается от длины хорды  $l\sin\theta$ , мы можем так поступать для углов меньше  $15^\circ$ , для которых значения  $\theta$  и  $\sin\theta$  различаются меньше чем на 24%.

## 24.6. Свободные гармонические колебания в колебательном контуре

Среди различных электрических явлений особое место занимают электромагнитные колебания, при которых электрические величины (заряды, токи, напряжения) периодически изменяются и которые сопровождаются взаимными превращениями электрического и магнитного полей. Для возбуждения и поддержания электромагнитных колебаний используется КОЛЕБАТЕЛЬНЫЙ КОНТУР – ЦЕПЬ, СОСТОЯЩАЯ ИЗ ВКЛЮЧЕННЫХ ПОСЛЕДОВАТЕЛЬНО КАТУШКИ ИНДУКТИВНОСТЬЮ  $L$ , КОНДЕНСАТОРА ЕМКОСТЬЮ  $C$  И РЕЗИСТОРА СОПРОТИВЛЕНИЕМ  $R$ .

Рассмотрим последовательные стадии колебательного процесса в идеализированном контуре, сопротивление которого пренебрежимо мало ( $R \approx 0$ ). Для возбуждения в контуре колебаний конденсатор заряжают, сообщая его обкладкам заряд  $\pm Q$ . Тогда в начальный момент времени  $t = 0$  (рис.9) между обкладками конденсатора возникает электрическое поле, энергия которого  $Q^2/2C$ . Если замкнуть конденсатор на катушку индуктивности, он начнет разряжаться, и в контуре потечёт возрастающий со временем ток  $I$ . В результате энергия электрического поля будет уменьшаться, а энергия магнитного поля катушки (она равна  $LQ^2/2$ ) – возрастать. Т.к.  $R \approx 0$ , то согласно закону сохранения энергии, полная энергия  $W = Q^2/2C + LQ^2/2 = \text{const}$ , что обусловлено отсутствием потерь на нагревание. Поэтому в момент времени  $t = T/4$ , когда конденсатор полностью разрядится, энергия электрического поля обращается в нуль, а энергия магнитного поля (а, следовательно, и ток) достигает наибольшего значения. Начиная с этого момента ток в контуре будет убывать и как следствие, начнет ослабевать магнитное поле катушки, и в ней индуцируется ток, который

текет (согласно правилу Ленца) в том же направлении, что и ток разрядки конденсатора. Конденсатор начнет перезаряжаться, Возникнет электрическое поле, стремящееся ослабить ток, который в конце концов обратиться в нуль, а заряд на обкладках конденсатора достигнет максимума. Далее те же процессы начнут протекать в обратном направлении и система к моменту времени  $t = T$  придет в первоначальное состояние. После этого начнется повторение рассмотренного цикла разрядки и зарядки конденсатора.

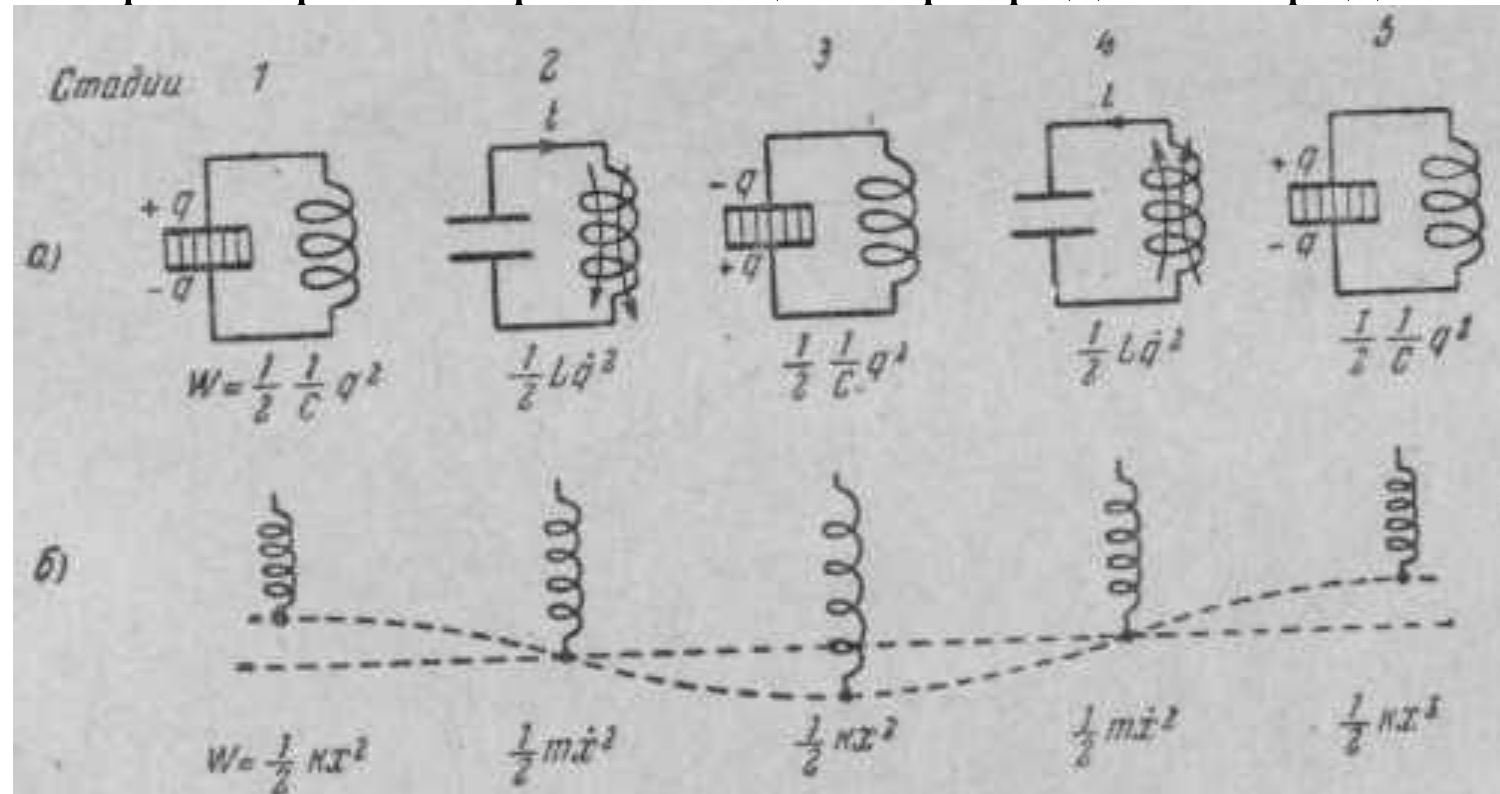


Рис. 9.

Если бы потерь энергии не было, то в контуре совершались бы периодические незатухающие колебания, т.е. периодически изменялись (колебались) бы заряд  $Q$  на обкладках конденсатора, напряжение  $U$  на конденсаторе и сила тока  $I$ , текущего через катушку индуктивности. Следовательно, в контуре возникают электрические колебания, причём колебания сопровождаются превращением энергий электрического и магнитного полей.

Электрические колебания в колебательном контуре можно сопоставить с механическими колебаниями маятника, сопровождающимися взаимными превращениями потенциальной и кинетической энергий маятника. В данном случае энергия электрического поля конденсатора ( $Q^2/2C$ ) аналогична потенциальной энергии упругой деформации ( $kx^2/2$ ), энергия магнитного поля ( $LI^2/2$ ) катушки – кинетической энергии ( $mv^2/2$ ) маятника, сила тока в контуре – скорости движения маятника. Индуктивность  $L$  играет роль массы, а сопротивление  $R$  в контуре играет роль, аналогичную силе трения, действующей на механический маятник.

Согласно закону Ома, для *RLC* контура

$$IR + U_c = E_s,$$

где  $IR$  – напряжение на резисторе,  $U_c = Q/C$  – напряжение на конденсаторе,  $E_s = -LdI/dt$  - ЭДС самоиндукции, возникающая в катушке при протекании в ней тока ( $E_s$  – единственная ЭДС контура). Следовательно,

$$L \frac{dI}{dt} + IR + \frac{Q}{C} = 0 \quad (24.6.24)$$

Поделив (24.6.24) на  $L$  и подставив получим  $I = Q$  и  $dI/dt = \dot{Q}$ ,  
Дифференциальное уравнение колебаний заряда  $Q$  в контуре

$$\ddot{Q} + \frac{R}{L} \dot{Q} + \frac{1}{LC} Q = 0 \quad (24.6.2)$$

В данном колебательном контуре внешние ЭДС отсутствуют, поэтому рассматриваемые колебания представляют собой свободные колебания. Если пренебречь сопротивлением  $R \approx 0$ , то свободные электромагнитные колебания в контуре являются гармоническими. Тогда из (24.6.2) получим дифференциальное

уравнение свободных гармонических колебаний заряда в контуре

$$\frac{dQ}{dt} + \frac{1}{LC} Q = 0 \quad (24.6.2a)$$

Из выражений (24.3.3) и (24.3.4) следует, что заряд  $Q$  совершает гармонические колебания по закону

$$Q = Q_m \cos(\omega_0 t + \phi) \quad (24.6.3)$$

где  $Q_m$  – амплитуда колебаний заряда конденсатора с циклической частотой  $\omega_0$ , называемой *собственной частотой контура*, т.е.

$$\omega_0 = 1 / \sqrt{LC} \quad (24.6.4)$$

И периодом

$$T = 2\pi \sqrt{LC} \quad (24.6.5)$$

Формула (24.6.5) называется формулой Томсона.

Сила тока в колебательном контуре

$$I = \frac{dQ}{dt} = -\omega_0 Q_m \sin(\omega_0 t + \varphi) = I_m \cos(\omega_0 t + \varphi + \pi/2), \quad (24.6.6)$$

где  $I_m = \omega_0 Q_m$  – амплитуда силы тока.

## Напряжение на конденсаторе

$$U_c = Q/C = \frac{Q_m}{C} \cos(\omega_0 t + \varphi) = U_m \cos(\omega_0 t + \varphi) \quad , \quad (24.6.7)$$

где  $U_m = Q_m/C$  – амплитуда напряжения.

Из выражений (24.6.3), (24.6.6) и (24.6.7) вытекает, что колебание тока  $I$  опережает по фазе колебания заряда  $Q$  и напряжения  $U$  на  $\pi/2$ , т.е. когда ток достигает максимального значения, заряд и напряжение обращаются в нуль, и наоборот.

*Сегодня: \**

Лекция окончена.

До свидания!

УРА! УРА! УРА!